



IRANIAN SOCIETY of
CRYSTALLOGRAPHY
and MINERALOGY

No. 1, 1387/2008 Spring & Summer

IRANIAN JOURNAL OF
CRYSTALLOGRAPHY
and MINERALOGY

The Phase Investigation of $\text{Mo} + 2(1 - x)\text{Si} + 2x\text{Al}$ Compounds

S. A. Tayebifard, K. Ahmadi, R. Yazdani-Rad, M. Doroudian

Meshkindashd-Karaj- Materials and Energy Research Center (MERC)- po.Box.1787/316
Email: a-tayebi@merc.ac.ir

(Received: 24/4/2007, in revised form: 23/10/2007)

Abstract: X-ray powder diffraction data for $\text{Mo}_{2.85}\text{Al}_{1.91}\text{Si}_{4.81}$ are presented here. The new $\text{Mo}_{2.85}\text{Al}_{1.91}\text{Si}_{4.81}$ compound was successfully prepared, using the self-propagating high-temperature synthesis (SHS) technique. The starting atomic mixture of reactant powders was $\text{Mo} + 2(1 - x)\text{Si} + 2x\text{Al}$ with $0.2 \leq x \leq 0.5$. The final powder compound obtained by the SHS technique was determined to be in $x = 0.2$; $\text{Mo}(\text{Si}, \text{Al})_2$ and in $0.3 \leq x \leq 0.5$; $\text{Mo}_{2.85}\text{Al}_{1.91}\text{Si}_{4.81}$, respectively. X-ray powder diffraction pattern of $\text{Mo}_{2.85}\text{Al}_{1.91}\text{Si}_{4.81}$ was recorded using an X-ray powder diffractometer and $\text{CuK}\alpha$ radiation that have been analyzed by automatic indexing programs. $\text{Mo}_{2.85}\text{Al}_{1.91}\text{Si}_{4.81}$ was found to be hexagonal.

Keywords: $\text{Mo} + 2(1 - x)\text{Si} + 2x\text{Al}$, SHS, $\text{Mo}_{2.85}\text{Al}_{1.91}\text{Si}_{4.81}$.



بررسی فازی ترکیبات $Mo + 2(1 - x) Si + 2xAl$

سید علی طیبی فرد، کامران احمدی، رحیم یزدانی راد، مسعود درودیان

پژوهشگاه مواد و انرژی، کرج-مشکین دشت

پست الکترونیکی: a-tayebi@merc.ac.ir

(دریافت مقاله ۱۳۸۶/۲/۴، دریافت نسخه نهایی ۱۳۸۶/۸/۱)

چکیده: در این مقاله روی داده‌های پراش پرتو X (XRD) حاصل از آنالیز ترکیبات سیستم $Mo - Si - Al$ سنتز شده به روش SHS بحث شده است. تا به حال فناوری SHS یا سنتز گرمایی برای تهیه انواع سرامیک‌ها، اینترمتالیک‌ها و مواد کامپوزیتی استفاده شده است. در این کار پژوهشی واکنش گرمایی بین Mo و Si به عنوان اجزای اصلی گرما و Al به عنوان افزودنی، مورد بررسی قرار گرفته است. مخلوط استوکیومتری پودرهای مواد اولیه مطابق فرمول $Mo + 2(1 - x) Si + 2xAl$ اگر $0.5 \leq x \leq 0.2$ ، انتخاب شده است. در $x = 0.2$ فاز اصلی $Mo(Si, Al)_2$ با ساختار ششگوشی رديابی شد، ولی با افزایش آلومینیم به مقادیر $0.5 \leq x \leq 0.3$ فاز اصلی به فاز ناشناخته‌ای تغییر کرد. با معرفی این فاز به مرجع شناسایی فازهای جدید (ICDD) این فاز با فرمول $Mo_{2.85}Al_{1.91}Si_{4.81}$ و دارای ساختار ششگوشی به عنوان یک فاز جدید مورد تأیید قرار گرفت.

واژه‌های کلیدی: $.Mo_{2.85}Al_{1.91}Si_{4.81}$, SHS, $Mo + 2(1 - x) Si + 2xAl$

[۳]. از میان روش‌های گوناگون سنتز ترکیبات $MoSi_2$ روش SHS با برتریهایی چون؛ سادگی فرایند، کاهش مصرف انرژی و زمان، سرعت بالای سنتز، خلوص بالاتر محصول نسبت به مواد اولیه، و ارزانی تجهیزات، برای فرایند سنتز می‌تواند به عنوان گزینه مناسبی باشد [۴]. در این بررسی واکنش گرمایی بین Mo و Si به عنوان اجزای اصلی گرمادهی و Al به عنوان افزودنی مورد مطالعه قرار گرفته است.

روش مطالعه

مخلوط استوکیومتری پودرهای مواد اولیه به صورت فرمول $Mo + 2(1 - x) Si + 2xAl$ و $0.5 \leq x \leq 0.2$ ، انتخاب شد. سپس پودر مخلوط به شکل نمونه‌هایی استوانه‌ای شکل با پرس تک محوری فشرده شده و برای سنتز به راکتور گرما ارسال

مقدمه

مولیبدن دی سیلیساید ($MoSi_2$) یکی از ترکیبات اینترمتالیک با ویژگیهای خاصی از قبیل؛ رسانندگی گرمایی و الکتریکی قابل مقایسه با فلزات، مقاومت به اکسایش در دماهای بالا، پایداری در محیط‌های خورنده شیمیایی و نیز چگالی نسبتاً پایین در مقایسه با فلزات، در دهه‌های اخیر به عنوان نامزد مناسبی برای کاربردهای دمای بالا در فناوری نوین مطرح شده است [۱، ۲]. ولی علی رغم این قابلیتهای بی‌نظیر، به دلیل تردی و شکننده بودن در دمای پایین، افت استحکام مکانیکی در دمای بالا، و اکسایش تخریبی در دماهای $400-500^{\circ}\text{C}$ کاربرد آن به صورت خالص در مواد سازه‌ای با محدودیت زیادی روبرو است. یکی از راهکارهای پیشنهادی برای بهبود خواص اضافه کردن فلزی مثل Al به ترکیب مواد اولیه است

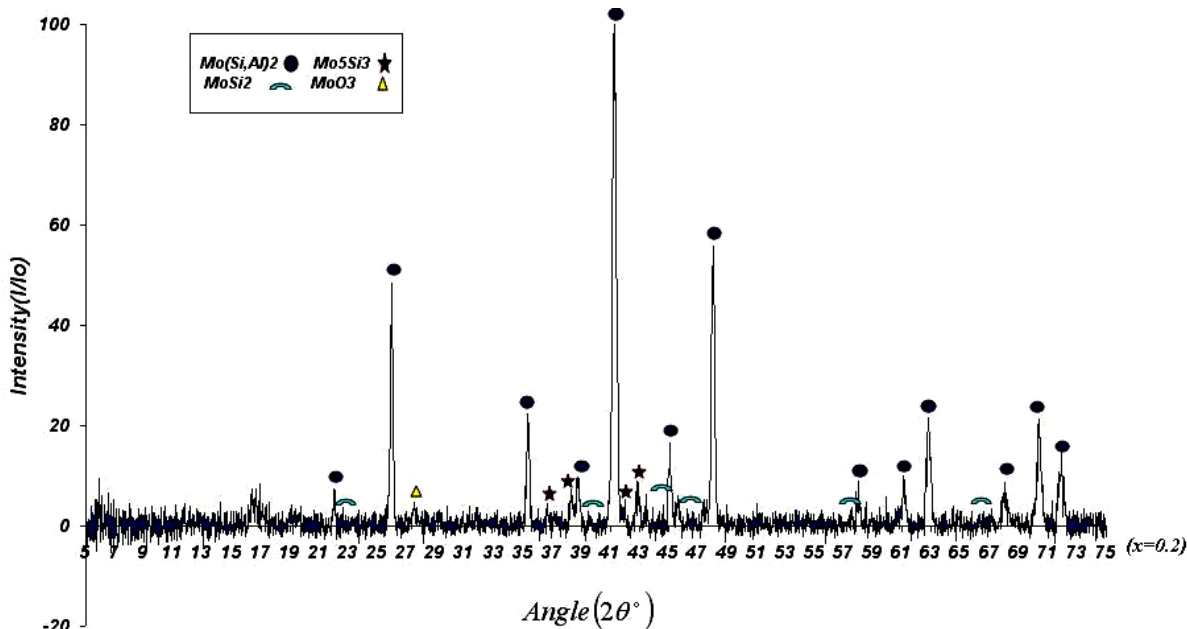
با $0.3 \leq x \leq 0.5$ است. شکل ۳ قله‌های بیشینه نمونه‌های با ترکیب $x = 0.2$, $x = 0.3$ را با بزرگنمایی بیشتر برای تشخیص بهتر نشان می‌دهد. در این نمونه‌ها ($0.3 \leq x \leq 0.5$) فاز اصلی فاز جدید $\text{Mo}_{2.85}\text{Al}_{1.91}\text{Si}_{4.81}$ ارزیابی شده است که در گستره اعلام شده از درصد Al پایدار است. برای تعیین فاز جدید، از مشابهت یکریختی داده‌های پراش پرتو X نمونه‌های ICDD-JCPDS Card No.19-0032 $\text{Mo}_{2.85}\text{Ga}_{2}\text{Si}_{4.15}$ دارای کارت-ICP-AES استفاده شد. پارامترهای یاخته یکه با حداقل مجذورات ۲۹ بازتاب از جدول ۱ و با استفاده از نرم افزار Dicvol ۹۱ بدین صورت به دست آمدند [۵]: $a = 4.6929(2)$ Å, $c = 6.5515(4)$ Å پارامترهای شبکه $x = 0.2$ یا فاز $\text{Mo}(\text{Si}, \text{Al})_2$ با $x = 0.2$ مطابقت دارد.

شد. و در نهایت نمونه‌های سنتز شده با استفاده از آنالیز پراش پرتو X مورد بررسی فازی قرار گرفتند.

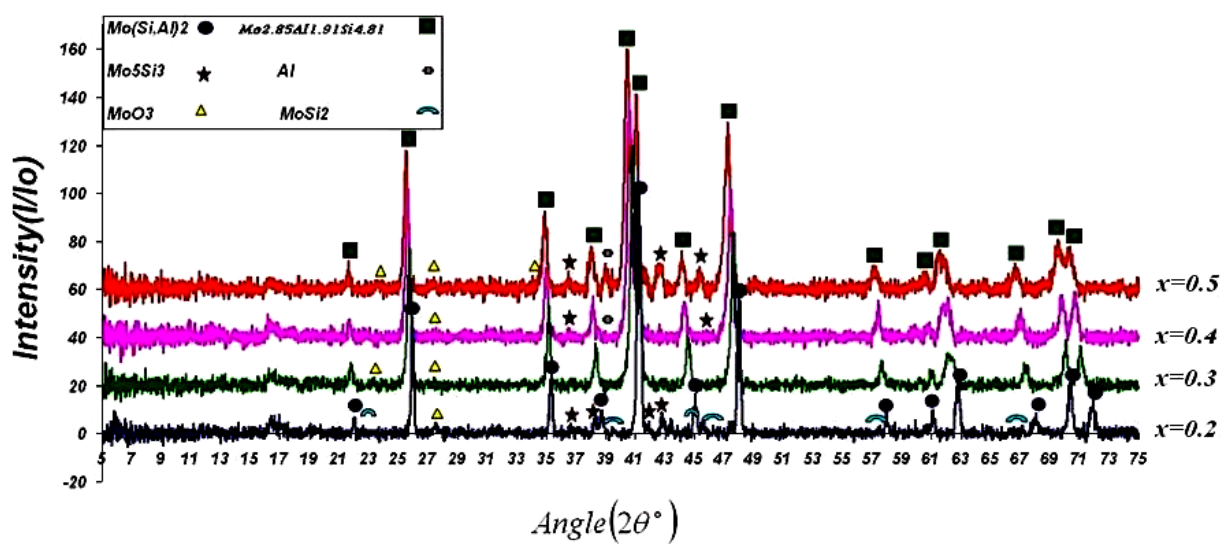
بحث و بررسی

بررسی نمونه‌های سنتز شده با آنالیز پراش پرتو X (XRD) نشان داد که؛ در $x = 0.2$ فاز اصلی $\text{Mo}(\text{Si}, \text{Al})_2$ دارای کارت ICDD-JCPDS Card No.19-0032 با $0.3 \leq x \leq 0.5$ فاز اصلی به فاز ناشناخته‌ای تغییر می‌کند. برای شناسایی محل دقیق قله‌ها از نرم افزار اندازه‌گیری و فرآوری، APD-3.6g استفاده شد. شدت خطوط پراش از اندازه‌گیری ارتفاع قله بالای زمینه به دست آمد، و به صورت درصدی از شدیدترین خط بیان شده است. الگوهای پراش پرتو X با استفاده از نرم افزارهای رایانه‌ای شناسایی شدند.

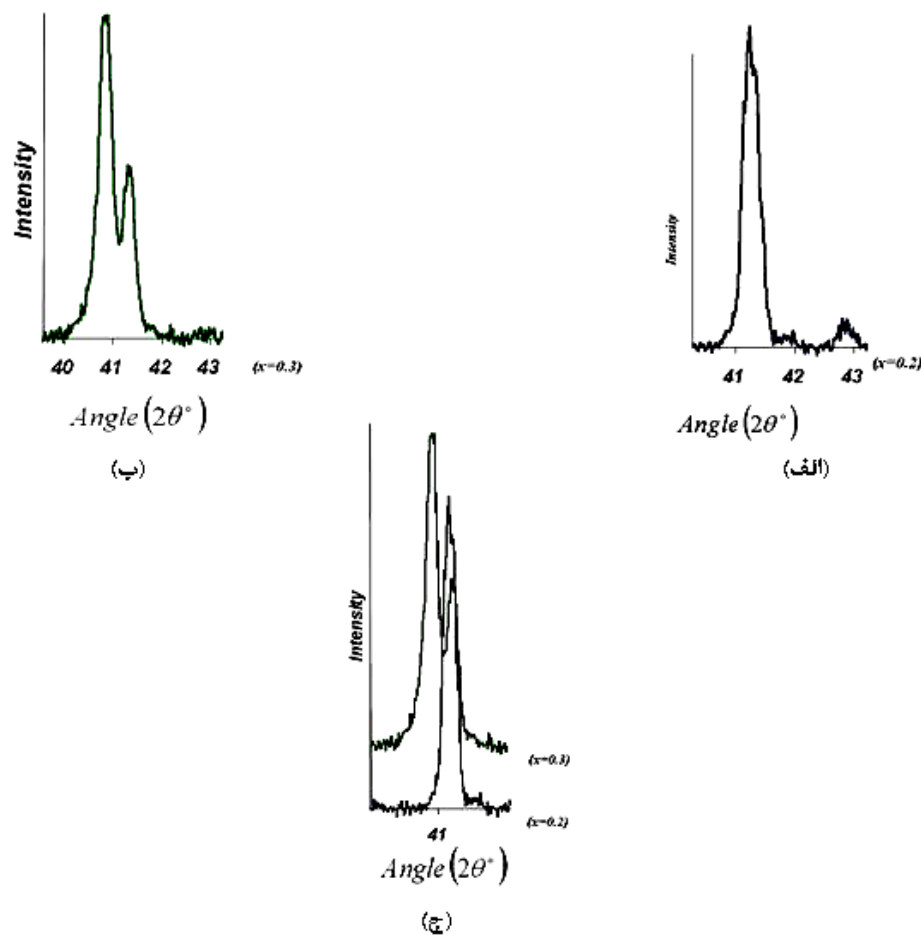
شکل ۱ الگوی پراش X نمونه با ترکیب $x = 0.2$ و $\text{Mo} + 2(1 - x) \text{Si} + 2x\text{Al}$ اینجا فاز اصلی $\text{Mo}(\text{Si}, \text{Al})_2$ و فازهای فرعی MoSi_2 , MoO_3 , Mo_5Si_3 ارزیابی شده است. شکل ۲ الگوهای پرتو X نمونه‌های با ترکیب $x = 0.3$ و $\text{Mo}+2(1 - x)\text{Si}+2x\text{Al}$ با مقایسه با الگوی نمونه $x = 0.2$ نشان می‌دهد. وجه تمایز چشمگیر الگوی نمونه $x = 0.2$ با بقیه نمونه‌ها، دو قلوبی شدن قله بیشینه ($I/I_0 = 100$) در نمونه‌های با مقدار



شکل ۱ الگوی پراش X از نمونه با ترکیب $x = 0.2$, $\text{Mo} + 2(1 - x) \text{Si} + 2x\text{Al}$ (فاز اصلی $\text{Mo}(\text{Si}, \text{Al})_2$).



شکل ۲ الگوی پراش پرتو X؛ از نمونه‌های با ترکیب $Mo + 2(1 - x)Si + 2xAl$ در یک نمودار به همراه با معرفی فازهای اصلی و فرعی سنتز شده



شکل ۳ الگوی پراش پرتو X (در گستره قله ۱۰۰°) از نمونه‌های با ترکیب $Mo + 2(1 - x)Si + 2xAl$ ؛ الف- $x = 0.2$ و ج- $x = 0.3$ در یک نمودار.

جدول ۱ داده‌های پراش پرتو X (مشاهده و محاسبه شده) فاز جدید $Mo_{2.85}Al_{1.91}Si_{4.81}$

| h | k | l | dobs | dcal | dif.d | 2Θobs | 2Θcal | Θ2.dif | 100*I/I ₀ |
|---|---|---|---------|---------|----------|--------|--------|--------|----------------------|
| 1 | · | · | 4,06531 | 4,06373 | -0,00158 | 21,845 | 21,854 | -0,009 | 8,1 |
| 1 | · | 1 | 3,45302 | 3,45330 | -0,00028 | 25,780 | 25,778 | 0,002 | 67,8 |
| 1 | · | 2 | 2,54999 | 2,55026 | -0,00027 | 35,165 | 35,111 | 0,004 | 29,1 |
| 1 | 1 | · | 2,34699 | 2,34631 | 0,00068 | 38,320 | 38,332 | -0,012 | 12,8 |
| 1 | 1 | 1 | 2,20935 | 2,20892 | 0,00043 | 40,810 | 40,818 | -0,008 | 100 |
| · | · | 3 | 2,18351 | 2,18370 | -0,00019 | 41,315 | 41,311 | 0,004 | 33,4 |
| 2 | · | · | 2,03152 | 2,03198 | -0,00046 | 44,565 | 44,554 | 0,011 | 12,1 |
| 1 | 1 | 2 | 1,90751 | 1,90747 | 0,0004 | 47,635 | 47,636 | -0,006 | 65,7 |
| 1 | 1 | 3 | 1,59869 | 1,59854 | 0,00015 | 57,610 | 57,616 | -0,006 | 6,9 |
| 2 | 1 | · | 1,53549 | 1,53606 | -0,00057 | 60,220 | 60,196 | 0,024 | 1,8 |
| 1 | · | 4 | 1,51918 | 1,51909 | 0,0009 | 60,935 | 60,939 | -0,004 | 6,0 |
| 2 | 1 | 1 | 1,49562 | 1,49550 | 0,00011 | 62,000 | 62,005 | -0,005 | 10,0 |
| 2 | · | 3 | 1,48763 | 1,48760 | 0,00002 | 62,370 | 62,371 | -0,001 | 16,3 |
| 2 | 1 | 2 | 1,39068 | 1,39075 | -0,00006 | 67,270 | 67,276 | 0,003 | 5,8 |
| 3 | · | · | 1,35422 | 1,35469 | -0,00046 | 69,335 | 69,308 | 0,027 | 1,8 |
| 1 | 1 | 4 | 1,34298 | 1,34300 | -0,00003 | 70,000 | 69,998 | 0,002 | 19,2 |
| 3 | · | 1 | 1,32666 | 1,32662 | 0,00003 | 70,990 | 70,992 | -0,002 | 13,7 |
| 3 | · | 2 | 1,25201 | 1,25186 | 0,00015 | 75,940 | 75,951 | -0,011 | 13,3 |

جدول ۲ مقایسه داده‌های پراش پرتو X فاز $Mo(Si, Al)_2$ و فاز جدید $Mo_{2.85}Al_{1.91}Si_{4.81}$

| | 2Θ | d | 100*I/I ₀ | h | k | l |
|--|--------|------|----------------------|---|---|---|
| Mo(Si, Al) ₂ (19-0032) | 41,18 | 2,19 | 100 | 1 | 1 | 1 |
| Mo _{2.85} Al _{1.91} Si _{4.81} | 40,18 | 2,19 | 100 | 1 | 1 | 1 |
| | 41,315 | 2,18 | 33,4 | · | · | 3 |

شناسایی و از طرف مرجع ICDD مورد تأیید قرار گرفته است
[۶]

برداشت

در این کار پژوهشی، نمونه‌هایی در سیستم Si - Al - Mo به SHS سنتز شدند. بسته به افزایش جانشینی Al در Mo + 2(1 - x)Si + 2xAl در ترکیب $Mo_{2.85}Al_{1.91}Si_{4.81}$ به فاز جدید $Mo(Si, Al)_2$ در $x = 0.2$ در $Mo(Si, Al)_2$ در ۰.۳ ≤ x ≤ ۰.۵ تغییر داده است که با آنالیز XRD

مراجع

- [1] Yazdani-Rad R., Tayebifard S.A., Doroudian M., "Influence of Compaction Pressure and Atmosphere on SHS of Molybdenum Disilicide", International J. of Engineering Science, 14, 2 (2003) 51-63.

- powders*", J. Solid State Chemistry, 177 (2004) 251–256.
- [5] Boutif A., Louer D., "Indexing of powder diffraction patterns for low symmetry lattices by the successive dichotomy method", J. Appl. Crystallogr., 24 (1991) 987-993.
- [6] Tayebifard S.A., Ahmadi K., Yazdani-Rad R., Doroudian M., " New X-ray powder diffraction data for Mo_{2.85}Al_{1.91}Si_{4.81}", Powder Diffraction, 21, 3 (2006) 238-240.
- [2] Yazdani-Rad R., Tayebifard S.A., Doroudian M., "Effect of preheating on SHS of MoSi₂", International J. of Engineering Science, 13, 2 (2002) 73-78.
- [3] Ramberg C. E., Worrell W. L., "Oxidation Kinetics and Composite Scale Formation in the System Mo (Si,Al)₂", J. Am. Ceram. Soc., 85, 2 (2002) 444-452.
- [4] Lee J.H., Nersisyan H.H., Won C.W., "The combustion synthesis of iron group metal fine